

ИЗВЕСТИЯ

ТОМСКОГО ОРДЕНА ТРУДОВОГО КРАСНОГО ЗНАМЕНИ ПОЛИТЕХНИЧЕСКОГО
ИНСТИТУТА имени С. М. КИРОВА

Том 115

1960

ПУЛЬСИРУЮЩИЙ МОМЕНТ И ГЕОМЕТРИЯ ОДНОФАЗНЫХ АСИНХРОННЫХ ЭЛЕКТРОДВИГАТЕЛЕЙ

Э. К. СТРЕЛЬБИЦКИЙ

(Представлено научным семинаром электромеханического факультета)

Известно, что в однофазных электрических машинах электромагнитный момент в первом приближении изменяется во времени по закону [1, 2, 3]:

$$M = \frac{E_m I_m}{2n} \cos \varphi - \frac{E_m I_m}{2n} \cos(2\omega_1 t - \varphi). \quad (1)$$

Здесь и далее приняты следующие обозначения:

- A — линейная загрузка,
 B_δ — индукция в воздушном зазоре,
 D — диаметр воздушного зазора,
 G — вес,
 E_m — амплитуда э. д. с.,
 I_m — амплитуда тока,
 J_p — момент инерции ротора,
 J_{cm} — момент инерции статора,
 l — линейный размер машины,
 M — крутящий момент,
 M_{an} — амплитуда пульсирующего момента,
 n — скорость вращения,
 p — число пар полюсов,
 P_2 — номинальная мощность на валу,
 P' — расчетная мощность машины,
 t — время,
 ω_1 — круговая частота сети,
 φ — угол сдвига фаз тока и напряжения,
 η — коэффициент полезного действия.

Первый член уравнения (1) $\frac{E_m I_m}{2n} \cos \varphi$ представляет среднее значение момента, определяемое нагрузкой на валу. Второй член $\frac{E_m I_m}{2n} \cos(2\omega_1 t - \varphi)$ представляет пульсирующий момент двигателя, частота которого равна удвоенной частоте сети.

Пульсирующий момент вызывает крутильные колебания статора с этой частотой, которые передаются на фундамент, являясь причиной так называемого структурного шума. Так как пульсирующий момент

приложен в той же степени и к ротору, то ротор тоже совершают вынужденные крутильные колебания относительно координат, вращающихся со скоростью, равной средней скорости ротора. Наличие крутильных колебаний вращающегося ротора — это, иначе говоря, колебания скорости ротора с частотой, равной удвоенной частоте сети.

Непостоянство скорости ротора вызывает появление высших гармонических пульсирующего момента, а следовательно, и вибраций статора, им вызываемых. Крутильные колебания ротора тоже содержат высшие гармоники. Указанные колебания ротора и статора вызывают шум и вибрации с частотами $2\omega_1$, $4\omega_1$, $6\omega_1$, $8\omega_1$ и т. д. Амплитуды высших гармоник колебаний скорости и вибраций статора зависят от тангенса угла наклона кривой $M_{an} = f(n)$ (рис. 1). Вес высших гармоник, как видно из рис. 1, пропорционален величине изменения амплитуды пульсирующего момента ΔM_{an} при пульсирующем изменении скорости в диапазоне $2\Delta n$. Выясняено, что вес высших гармоник пульсирующего момента и вибраций, им вызываемых, существенно зависит от размеров отрезка характеристики ab двигателя, в пределах которого колебается скорость ротора [4].

Нас интересует в этом случае величина проекции этого отрезка характеристики на ось момента, т. е. ΔM_{an} . Чем больше ΔM_{an} за один период изменения питающего напряжения, тем выше вес высших гармоник [4]. При постоянном Δn , определяемом амплитудой пульсирующего момента, частотой сети и моментом инерции ротора, ΔM_{an} зависит исключительно от тангенса угла наклона кривой $M_{an} = f(n)$. Строго говоря, на Δn оказывает небольшое влияние и момент инерции статора. Дело в том, что угол колебаний ротора должен отсчитываться не относительно неподвижных координат, а относительно координат, расположенных на статоре, который, как известно, отклоняется в противоположную сторону на некоторый угол, величина которого обратно пропорциональна моменту инерции статора. Но так как момент инерции статора в 10—15 раз больше момента инерции ротора, то этим углом мы имеем право пренебречь.

С другой стороны, при той же самой кривой $M_{an} = f(n)$ диапазон изменения амплитуды пульсирующего момента зависит от диапазона изменения скорости $2\Delta n$ (рис. 2).

Амплитуда угловых колебаний ротора определяется формулой

$$\Delta\alpha_p = \frac{M_{an}}{J\omega_1}. \quad (2)$$

Известно, что с изменением номинальной мощности и номинальной скорости M_{an} и J изменяются по различным законам. Поэтому представляется интересным проанализировать, как будет изменяться $\Delta\alpha_p$, Δn и в конечном счете ΔM_{an} в зависимости от номинальной мощности двигате-

ля. Из формулы (2) следует, что для определенного числа полюсов асинхронного двигателя отношение $\frac{M_{an}}{J_p}$ определяет амплитуду угловых колебаний ротора, диапазон изменения скорости $2\Delta n$ и, следовательно, вес высших гармонических.

Целью настоящей работы является анализ влияния номинальной мощности однофазного асинхронного двигателя на вес высших гармонических пульсирующего момента и вибраций. Кроме того, ставится задача выяснить зависимость амплитуды вибраций, вызываемых основной гармоникой, от номинальной мощности машины.

Амплитуда пульсирующего момента в синхронных ваттах численно равна так называемой расчетной мощности (2)

$$M_{na} = IE \cdot P' = \frac{P_{2H}}{\tau_{2H} \cos \varphi_H}. \quad (3)$$

Так как в каталогах и справочниках обычно фигурирует не расчетная мощность P' , а номинальная мощность на валу P_{2H} , то рассмотрим по отдельности следующие функциональные зависимости:

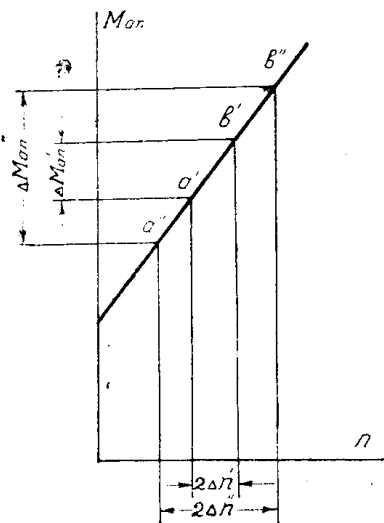


Рис. 2.

$$M_{an} = P' \cdot f_1 \left(P_{2H}, \frac{\omega_1}{p} \right),$$

$$J = f_2 \left(P_{2H}, \frac{\omega_1}{p} \right). \quad (4)$$

Для ряда геометрически подобных машин при постоянстве синхронной скорости (числа полюсов) расчетная мощность, численно равная амплитуде пульсирующего момента, зависит от линейного размера машины следующим образом (5):

$$M_{an} = p' = l^4. \quad (5)$$

Для однотипных машин, имеющих различное число полюсов, справедлива зависимость

$$M_{an} \cdot n = P' = l^4 n. \quad (6)$$

Однако следует иметь в виду, что формулы (5) и (6) действительны только при условии постоянства электромагнитных загрузок машины, т. е. при $A = \text{const}$ и $B_d = \text{const}$. В действительности же электромагнитные загрузки машины выбираются в зависимости от номинальной мощности. Особенно сильно электромагнитные загрузки меняются в области малых мощностей, т. е. для машин, которые являются предметом настоящего рассмотрения. Для машин мощностью до 600 вт Н.С. Сергеев [5] дает следующую зависимость произведения электромагнитных загрузок от диаметра воздушного зазора и скорости машины

$$AB_d = D^2 n^3, \quad (7)$$

где $D \approx 1$,

$$\beta \approx 0,2 \dots 0,3.$$

Иначе говоря, при $n_c = \text{const}$ произведение электромагнитных загрузок **прямо** пропорционально линейному размеру машины:

$$AB_2 \equiv l^1. \quad (8)$$

В этом случае зависимость амплитуды пульсирующего момента от линейного размера машины выразится следующим образом:

$$M_{na} = P' \equiv l^5. \quad (9)$$

Вернемся к формуле (2) и рассмотрим величину угловых колебаний статора и ротора и диапазон изменения скорости ротора с учетом уточнения (9). Как известно, момент инерции J пропорционален маховому моменту

$$J \equiv \frac{GD^2}{4}. \quad (10)$$

Приняв во внимание, что

$$G \equiv l^3,$$

$$D \equiv l, \quad (11)$$

получим

$$J \equiv l^5. \quad (12)$$

Поделив (9) на (12), получим, что угловая амплитуда колебаний статора и ротора и диапазон изменения скорости ротора от действия пульсирующего момента остаются постоянными в широком диапазоне мощностей:

$$\Delta\alpha_{ct} \equiv l^0,$$

$$\Delta\alpha_p \equiv l^0,$$

$$\Delta n \equiv l^0. \quad (13)$$

Амплитуда линейных колебаний статора, очевидно, выразится зависимостью

$$\alpha = \Delta\alpha_{ct} \cdot R \equiv l^1, \quad (14)$$

где R — расстояние от данной точки статора до центра машины.

Анализируя выражения (13, 14), можно отметить следующее.

1. Амплитуды угловых колебаний статора и ротора, вызванных пульсирующим моментом, в рассматриваемом диапазоне мощностей не зависят от номинальной мощности машины.

2. Диапазон изменения скорости ротора при его пульсирующем движении также не зависит от номинальной мощности. Следовательно, вес высших гармоник пульсирующего момента и вибраций одинаков для машин различной мощности и определяется исключительно величиной рабочего скольжения, т. е. тангенсом угла наклона характеристики.

3. Линейная амплитуда вибраций статора при изменении номинальной мощности **прямо** пропорциональна линейному размеру машины.

Для подтверждения полученных выводов были проанализированы соотношения, имеющие место в существующих двигателях, выпускаемых в Советском Союзе (единая серия АОЛБ) и в ФРГ (DA—фирма AEG, MD—фирма Siemens и AD—фирма Sachsenwerk). На рис. 3,

4, 5 представлены зависимости веса, к.п.д. и коэффициента мощности от номинальной мощности для четырехполюсных микродвигателей указанных типов. Данные заимствованы из [6].

Для представления зависимостей, показанных на рис. 3, 4, 5, в аналитической форме изберем показательную функцию, так как она

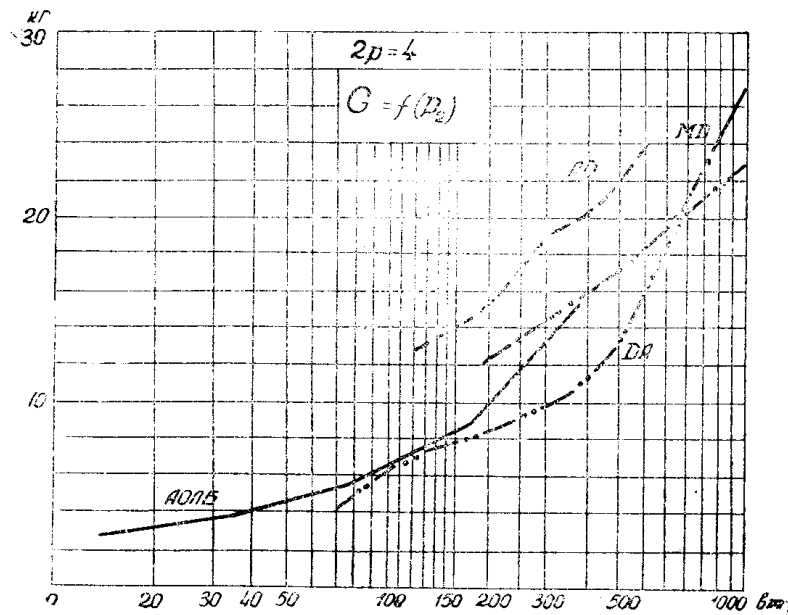


Рис. 3.

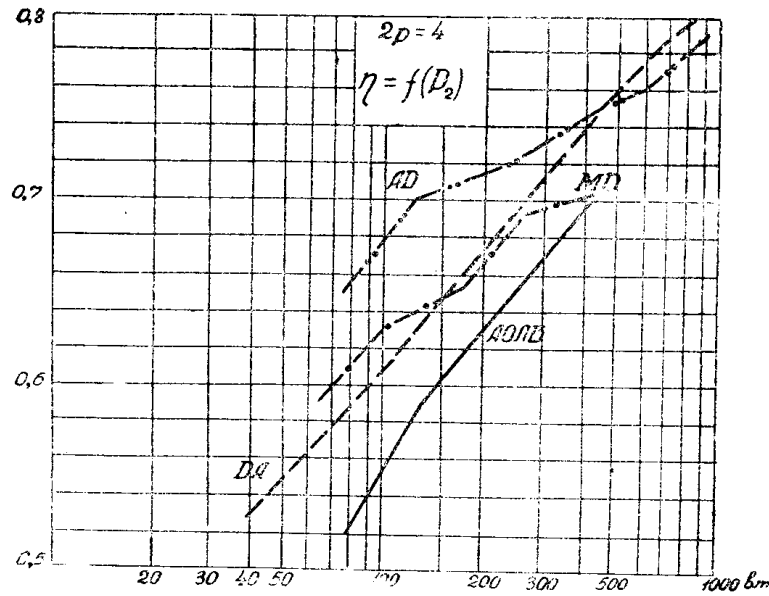


Рис. 4.

обычно применяется в такого рода выкладках и наиболее подходит к нашему анализу:

$$\begin{aligned} G &\equiv P_{2H}^x, \\ \eta_H &\equiv P_{2H}^y, \\ \cos\varphi_H &\equiv P_{2H}^z. \end{aligned} \tag{15}$$

Построив огибающие зависимостей на рис. 3, 4, 5 и проведя средние кривые (на рисунках они не показаны во избежание затенения чертежей), путем подбора найдем такие значения показателей степени x , y и z , чтобы кривые (15) совпали с какой-то точностью с упомянутыми средними кривыми.

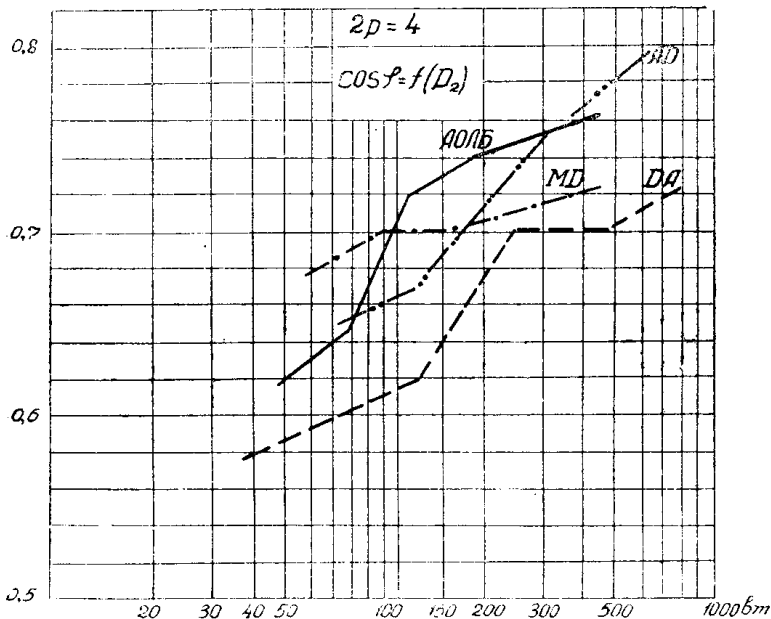


Рис. 5.

В результате подбора мы получили следующие значения показателей степени

$$x = 0,45, \quad y = 0,143, \quad z = 0,11.$$

Подставив полученные значения x , y и z в формулу (15), получим:

$$\begin{aligned} G &\equiv P_{2H}, \\ \eta_H &\equiv P_{2H}, \\ \cos \varphi_H &\equiv P_{2H}. \end{aligned} \tag{16}$$

Подставив соотношения (16) в выражения (3), (12) и (2), получим:

$$\Delta \alpha_{cm} \equiv \Delta \alpha_p \equiv P^0_{2H}, \tag{17}$$

то есть амплитуда угловых колебаний статора и ротора остается постоянной в широком диапазоне мощностей. Выражение (17) эквивалентно выражению (13). Таким образом, можно сказать, что положения, полученные нами с учетом зависимости электромагнитных загрузок от мощности, справедливы для реально существующих машин.

Выводы

1. В однофазных асинхронных двигателях малой мощности амплитуда угловых колебаний статора и ротора, возникающих под действием пульсирующего момента, постоянна в широком диапазоне номинальных мощностей.

2. Диапазон изменения скорости ротора при пульсирующем движении его также не зависит от номинальной мощности.

3. Вес высших гармоник пульсирующего момента и вызываемых ими вибраций не зависит от мощности двигателя и определяется исключительно величиной рабочего скольжения, т. е. тангенсом угла наклона характеристики.

ЛИТЕРАТУРА

1. A. L. Kimball, P. L. Alger, Single-Phase Motor—Torque Pulsation, Tr. A. I. E. E., vol. 43, pp. 730—739, 1924.
2. K. P. Kovacs, Pulsierendes Moment im asymmetrischen Betrieb von Wechselstrom-maschinen, A. f. E., Bd. 42, H. 2, 1955.
3. R. Beach, Physical Conceptions of Single-Phase Induction Motor Performance, Electrical Engineering, vol. 63, № 7, pp. 254—263, 1943.
4. Э. К. Стрельбицкий, Пульсирующий момент однофазных электрических машин, Известия высших учебных заведений сб. Электромеханика, №9, 1959.
5. Н. С. Сергеев, Проектирование электрических машин, ГЭИ, 1956.
6. Обзор зарубежной техники №14-131 Электрические двигатели малой мощности, ЦБТИ ЭП, 1958.